

## بررسی‌های کانی‌شناسی و ژئوشیمیایی رودنژیت‌های افیولیت نایین

سمیه فلاحتی، موسی نقره‌ئیان، محمود خلیلی، قدرت ترابی و محمد علی مکی‌زاده  
گروه زمین‌شناسی دانشگاه اصفهان

### چکیده

در رودنژیت‌های افیولیت شمال نایین، دو نوع رودنژیتیزاسیون استاتیک و دینامیک مشاهده می‌شود. همچنین در رودنژیت‌های استاتیک این منطقه، دو مرحله ابتدایی و پیشرفته قابل مشاهده می‌باشد. در مرحله ابتدایی، به ترتیب کانی‌های اپیدوت، پرهنیت و هیدروگراسولار به خرج پلازیوکلاز هم زمان با افزایش میزان کلسیم سیال رودنژیت ساز تبلور یافته‌اند و در مرحله پیشرفته، کانی‌زنوتلیت به خرج پلازیوکلاز و کلریت منیزیم‌دار، ترمولیت، دیوپسید ثانویه به خرج پیروکسن هم‌زمان با افزایش میزان سیلیسیم سیال رودنژیت ساز تبلور یافته‌اند. در فرآیند رودنژیتی شدن دایک‌های گابریئلی منطقه مورد مطالعه، میزان Ca و OH سنگ افزایش، میزان K کاهش چشمگیر، میزان Mg, Fe, Mn کاهش جزیی و میزان Si تقریباً ثابت باقی می‌ماند.

واژه‌های کلیدی: افیولیت نایین، رودنژیت، رودنژیتی شدن استاتیک، رودنژیتی شدن دینامیک.

## Mineralogical and Geochemical Studies on Rodingites of Nain Ophiolite

S. Falahaty, M. Noghreyan, M. Khalili, G. Torabi and M. A. Mackizadeh  
Geology Department, the University of Isfahan

### Abstract

Two types of rodingitization (static and dynamic) are observed in the rodingites of the ophiolite in the North of Nain. Two stages have occurred in the formation of static rodingites. In the initial stage, epidote, prehnite and hydrogrossular have crystallized respectively, at the expense of plagioclase, with the increase of calcium

content rodingite forming fluid. In the advanced stage, xonotlite in the expense of plagioclase, and Mg-chlorite, tremolite and secondary diopside, at the expense of pyroxene, have been formed simultaneously with an increase of Si content of rodingite forming fluid. During rodingitization, the Ca and OH content, have increased, whereas the amounts of K, Al and Na are reduced. Mn, Fe and Mg values are slightly reduced but Si remains constant.

**Keywords:** Nain ophiolite, rodingite, static rodingitization, dynamic rodingitization.

### مطالعات، سنگ‌های رودنژیتی از محصولات متاسوماتیسم

سنگ‌های گابروئی، دلریتی، گری واک، گرانیتی، داسیتی و شیلی مرتبط با مجموعه‌های سرپانتینیتی عظیم محسوب می‌شوند و در برگیرنده کانی‌های کلسیم دار نظیر اپیدوت (زوئیزیت و کلینوزوئیزیت)، پرهنیت، گارنت (بیشتر از نوع هیدروگراسولار)، کلریت Mg دار، دیوپسید ثانویه، ولاستونیت، زنوتلیت<sup>۱</sup> و ویاگناتیت<sup>۲</sup> می‌باشند (تیلور، ۱۹۶۶ و کلمن، ۱۹۷۷). به عقیده شاندل و همکاران (۱۹۹۰)، در جریان سرپانتینی شدن پیروکسن و الیوین موجود در سنگ‌های اولترامافیک، کلسیم آزاد می‌شود که این کلسیم قادر به جایگیری در ساختار سرپانتینیت‌ها نیست، لذا در سیال حاصل از سرپانتینی شدن تمرکز می‌یابد و اگر توده‌های اولترامافیک قبلًاً توسط دایک‌های دیابازی مورد هجوم قرار گرفته باشند، سیالات حاصل از سرپانتینی شدن آن‌ها بر روی دایک‌های دیابازی اثر نموده و حاصل واکنش تشکیل رودنژیت می‌باشد.

#### روش مطالعه:

به منظور بررسی ترکیب کانی‌های موجود در رودنژیت‌های افیولیت نایین، تعداد ۴۰ نمونه از این سنگ‌ها برای تهییه مقطع نازک انتخاب شدند. از این مقاطع نازک، تعداد ۱۰ مقطع به منظور تعیین فرمول ساختمانی کانی‌های مورد نظر موجود در آن - ها

### مقدمه

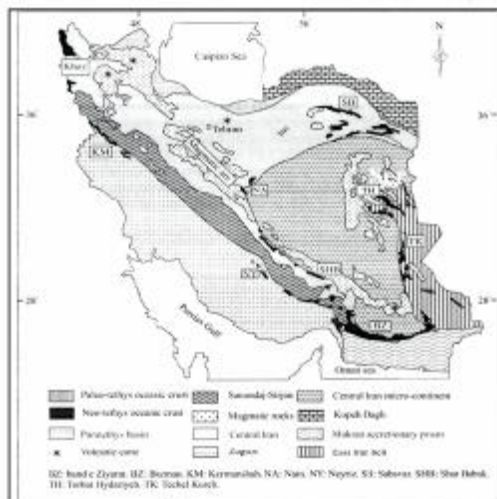
توالی افیولیت شمال نایین در امتداد زون گسلی نایین - بافت واقع شده است (شکل ۱). این زون در غرب ایران مرکزی واقع است و شامل چندین قطعه مجزا از توالی‌های افیولیتی اقیانوس نوتوتیس می‌باشد. این افیولیت‌ها بقایای پوسته اقیانوسی می‌باشند و در زمان کرتاسه بالایی تا پالئوسن زیرین بر روی حاشیه ایران مرکزی رانده شده‌اند. پریدوتیت‌های سرپانتینی شده، گابرو، دایک‌های صفحه‌ای، پلاژیوگرانیت، بازالت و آهک پلاژیک از واحد‌های تشکیل دهنده این افیولیت است (داود زاده، ۱۹۷۲). دایک‌های رودنژیتی شده اغلب به رنگ سفید تا کرم و به صورت ساختارهای سوسیسی شکل (بودیناژ) (شکل ۲A) با ضخامت نسبتاً کم (شکل ۲B) در داخل سرپانتینیت‌های افیولیت نایین قابل رویت می‌باشند. سنگ منشاً اغلب این سرپانتینیت‌ها، هارزبورزیت‌های تکتونیت می‌باشد. در دایک‌های رودنژیتی شده با ضخامت زیاد، فرآیند رودنژیتیزاسیون در محل کنتراکت دایک با سرپانتینیت به وفور دیده می‌شود، در حالی که مرکز دایک تقریباً بدون تغییر باقی مانده است. همچنین مرز بین قسمت رودنژیتی شده دایک و قسمت تقریباً سالم دایک یک مرز تدریجی می‌باشد (شکل ۲C)، در صورتی که کنتراکت دایک سرپانتینیت یک مرز شارپ می‌باشد (شکل ۲D). لازم به ذکر است که دایک‌های رودنژیتی شده با ضخامت زیاد در منطقه به میزان کم یافت می‌شوند. برطبق آخرین

1- Xonotlite

2 - Vuagnatite

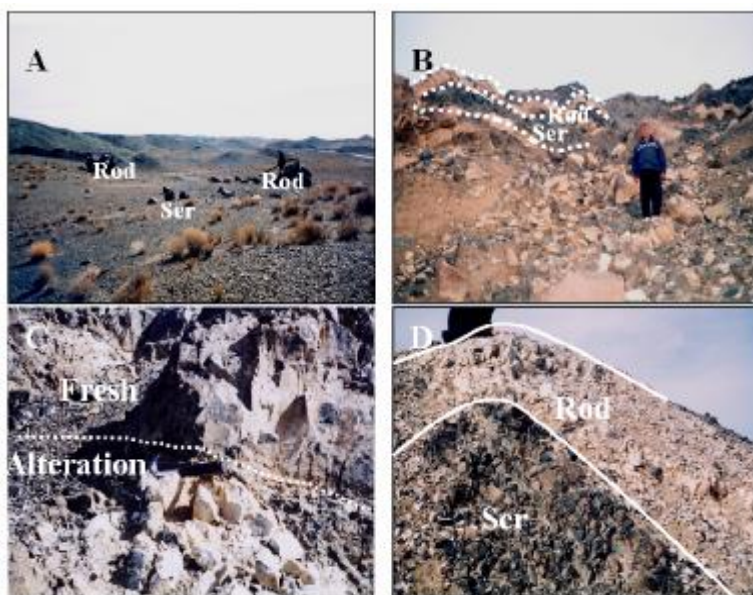
آنالیز کل سنگ به Acme ) AcmeLabs Analytical Laboratories Ltd (کانادا جهت آنالیز ICP-MAS فرستاده شد.

انتخاب و پس از تهیه مقاطع نازک صیقلی به دانشگاه Leibniz آلمان جهت آنالیز میکروپروب فرستاده شدند. همچنین تعداد ۶ نمونه از رودنژیت های منطقه به منظور



|                  |             |
|------------------|-------------|
| افیولیت خوی      | <b>Khov</b> |
| افیولیت کرمانشاه | <b>KM</b>   |
| افیولیت سبزوار   | <b>NY</b>   |
| افیولیت نائین    | <b>NA</b>   |
| افیولیت چهل کوره | <b>BF</b>   |
| افیولیت مشهد     | <b>M</b>    |
| افیولیت اسفندیار | <b>ES</b>   |
| افیولیت شهر باب  | <b>SHB</b>  |
| افیولیت ابراشهر  | <b>IR</b>   |

شکل ۱ - موقعیت افیولیت های ایران(علایی مهابادی و همکاران، ۱۳۸۳)

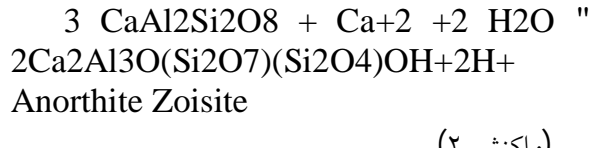


شکل ۲- تصاویر ماکروسکوپی رودنژیت های شمال نائین. A- نمایی از ساختار بودیناژ رودنژیت های شمال نائین. B- نمایی از دایک های رودنژیتی شده کم ضخامت موجود در سرپانتینیت های افیولیت شمال نائین. C- نمایی از کتاتک تدریجی بین قسمت رودنژیتی و سالم دایک. D- کتاتک شارپ بین سرپانتینیت - رودنژیت افیولیت شمال نائین

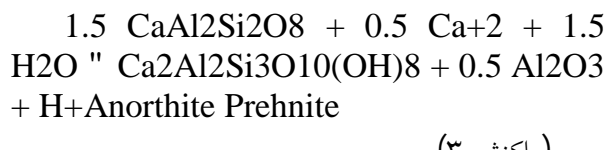
## مطالعات پتروگرافی

در رودنژیت های افیولیت شمال نایین، دو نوع رودنژیزاسیون استاتیک (با توجه به حضور کانی های جانشینی) و دینامیک (با توجه به حضور کانی های رگه ای) مشاهده می شود (سبزه ئی، ۲۰۰۲). همچنین در رودنژیت های استاتیک این منطقه، دو مرحله ابتدایی و پیشرفته قابل مشاهده می باشد. در مرحله ابتدایی به ترتیب کانی های اپیدوت (شکل ۳A)، پرهنیت و هیدروگراسولار (شکل ۳B) (جدول ۱ و ۲) (واکنش های ۱، ۲ و ۳) به خرج پلاژیوکلاز و در مرحله پیشرفته، به ترتیب کانی های زنوتیت (جدول ۳) به خرج پلاژیوکلاز (واکنش ۴) و کلریت منیزیم دار (شکل ۳C)، ترمولیت و دیوپسید ثانویه (شکل ۳D) به خرج پیروکسن (واکنش های ۵، ۶ و ۷) تشکیل شده اند.

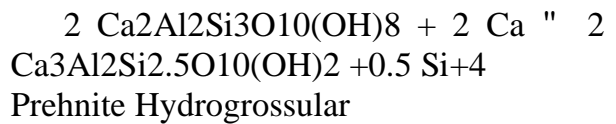
(واکنش ۱)



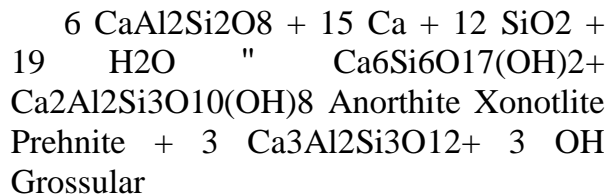
(واکشن ۲)



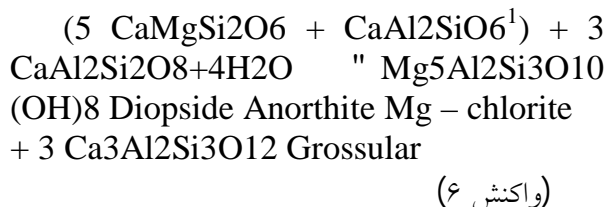
(واکشن ۳)



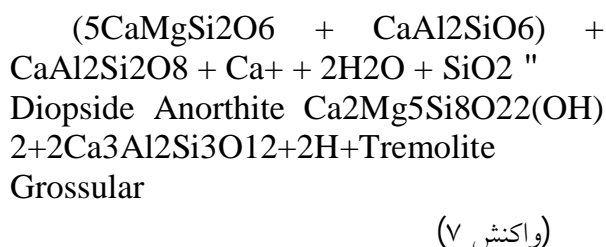
(واکشن ۴)



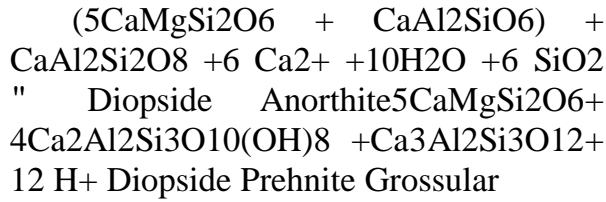
(واکشن ۵)



(واکنش ۶)

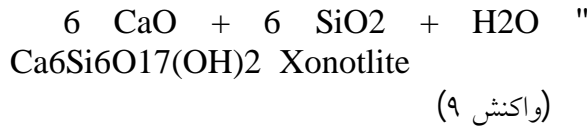


(واکنش ۷)

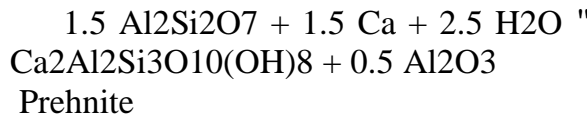


رودنژیزاسیون دینامیک در مقاطع مورد مطالعه نیز، با وجود کانی های رگه ای زنوتیت به میزان فراوان (شکل ۳E)، پرهنیت به میزان کم (شکل ۳F) و پکتولیت به میزان بسیار کم (شکل ۳G) مشخص می شود (واکنش های ۹ و ۱۰).

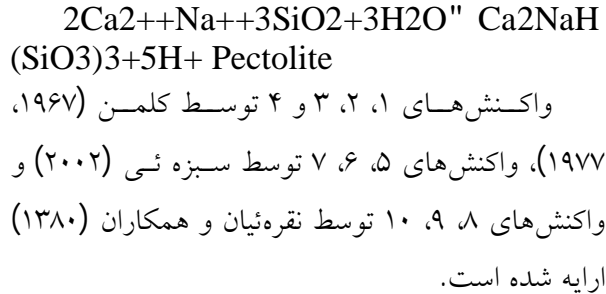
(واکشن ۸)

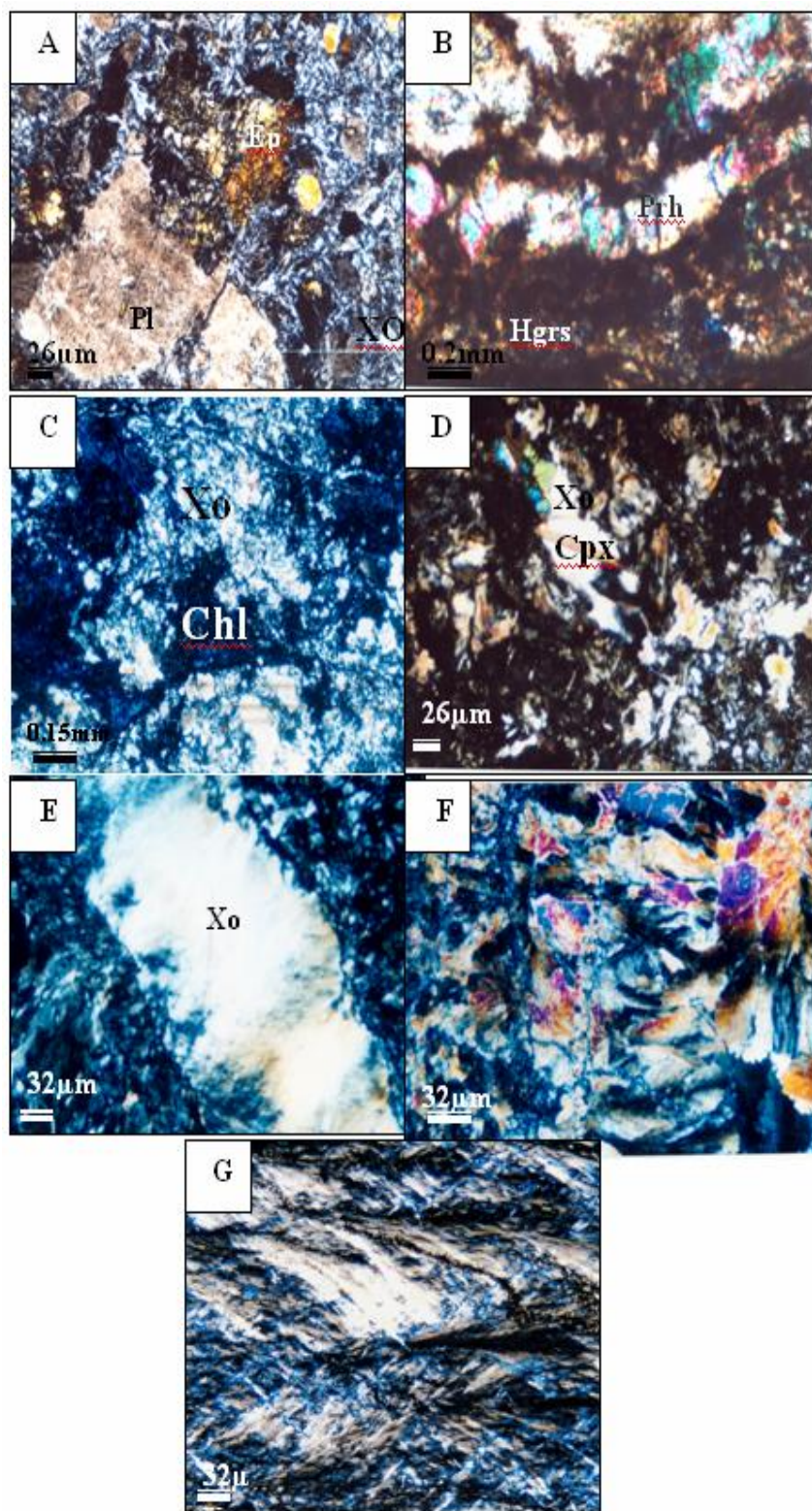


(واکشن ۹)



(واکشن ۱۰)





شکل ۳ - تصاویر میکروسکوپی رودنژیت‌های افیولیت نائین. A: تبدیل پلاژیوکلاز به اپیدوت B: تبدیل پرهنیت به هیدروگراسولار C: تبدیل پیروکسن به کلریت منیزیوم‌دار D: تبدیل پیروکسن‌های اولیه به پیروکسن‌های ثانویه E: زنوتیلت رگه‌ای F: پرهنیت رگه‌ای G: زنوتیلت رگه‌ای

جدول ۱ - نتایج آنالیز میکروپرورب از کانی های گارنت

| Major element                  | Wt%     | Wt%     | Wt%     |
|--------------------------------|---------|---------|---------|
| SiO <sub>2</sub>               | 28.170  | 28.480  | 34.090  |
| TiO <sub>2</sub>               | 0.280   | 0.100   | 0.040   |
| Al <sub>2</sub> O <sub>3</sub> | 22.380  | 22.770  | 22.870  |
| FeO*                           | 0.070   | 0.100   | 0.100   |
| MnO                            | 0.000   | 0.000   | 0.020   |
| MgO                            | 0.140   | 0.120   | 0.050   |
| CaO                            | 38.060  | 37.620  | 37.000  |
| Total                          | 89.100  | 89.190  | 94.170  |
| Formula                        | Cations | Cations | Cations |
| Si                             | 4.922   | 4.956   | 5.510   |
| Ti                             | 0.037   | 0.013   | 0.005   |
| Al                             | 4.608   | 4.669   | 4.353   |
| Fe <sup>2+</sup>               | 0.010   | 0.015   | 0.014   |
| Mn                             | 0.000   | 0.000   | 0.003   |
| Mg                             | 0.036   | 0.031   | 0.012   |
| Ca                             | 7.124   | 7.013   | 6.421   |
| Total                          | 16.737  | 16.697  | 16.313  |

جدول ۲ - محاسبه اعضای انتهائی محلول های جامد در مورد کانی های گارنت

|     |        |        |        |
|-----|--------|--------|--------|
| Py  | 0.509  | 0.441  | 0.187  |
| Alm | 0.143  | 0.206  | 0.210  |
| Gro | 99.349 | 99.353 | 99.562 |
| Sp  | 0.000  | 0.000  | 0.042  |

جدول ۳- نتایج آنالیز میکروپرورب از کانی زنوتلیت

| Major element                      | W%            | W%            | W%            |
|------------------------------------|---------------|---------------|---------------|
| <b>SiO<sub>2</sub></b>             | <b>50.88</b>  | <b>51.51</b>  | <b>50.90</b>  |
| <b>TiO<sub>2</sub></b>             | <b>0.00</b>   | <b>0.00</b>   | <b>0.00</b>   |
| <b>Al<sub>2</sub>O<sub>3</sub></b> | <b>0.02</b>   | <b>0.00</b>   | <b>0.00</b>   |
| <b>Cr<sub>2</sub>O<sub>3</sub></b> | <b>0.00</b>   | <b>0.10</b>   | <b>0.00</b>   |
| <b>FeO</b>                         | <b>0.00</b>   | <b>0.02</b>   | <b>0.01</b>   |
| <b>MnO</b>                         | <b>0.00</b>   | <b>0.02</b>   | <b>0.00</b>   |
| <b>MgO</b>                         | <b>0.00</b>   | <b>0.03</b>   | <b>0.02</b>   |
| <b>CaO</b>                         | <b>45.58</b>  | <b>44.72</b>  | <b>45.32</b>  |
| <b>Na<sub>2</sub>O</b>             | <b>0.00</b>   | <b>0.93</b>   | <b>0.01</b>   |
| <b>K<sub>2</sub>O</b>              | <b>0.01</b>   | <b>0.02</b>   | <b>0.00</b>   |
| <b>Total</b>                       | <b>96.49</b>  | <b>97.35</b>  | <b>96.26</b>  |
| Formula                            | Cations       | Cations       | Cations       |
| <b>Si</b>                          | <b>6.080</b>  | <b>6.102</b>  | <b>6.091</b>  |
| <b>Ti</b>                          | <b>0.000</b>  | <b>0.000</b>  | <b>0.000</b>  |
| <b>Al</b>                          | <b>0.003</b>  | <b>0.000</b>  | <b>0.000</b>  |
| <b>Cr</b>                          | <b>0.000</b>  | <b>0.001</b>  | <b>0.000</b>  |
| <b>Fe<sup>2+</sup></b>             | <b>0.000</b>  | <b>0.002</b>  | <b>0.001</b>  |
| <b>Mn</b>                          | <b>0.000</b>  | <b>0.002</b>  | <b>0.000</b>  |
| <b>Mg</b>                          | <b>0.000</b>  | <b>0.005</b>  | <b>0.004</b>  |
| <b>Ca</b>                          | <b>5.836</b>  | <b>5.677</b>  | <b>5.811</b>  |
| <b>Na</b>                          | <b>0.000</b>  | <b>0.214</b>  | <b>0.002</b>  |
| <b>K</b>                           | <b>0.003</b>  | <b>0.003</b>  | <b>0.000</b>  |
| <b>Total</b>                       | <b>11.921</b> | <b>12.006</b> | <b>11.910</b> |

تغییرات شیمیایی این سنگ ها نسبت به سنگ منشأ آن  
ها ضروری به نظر می رسد.

با توجه به شکل (۴) مشخص می شود که، در  
فرآیند رودنژیتی شدن دایک های گابروئی منطقه مورد  
مطالعه، میزان Ca و OH سنگ افزایش، میزان Al،

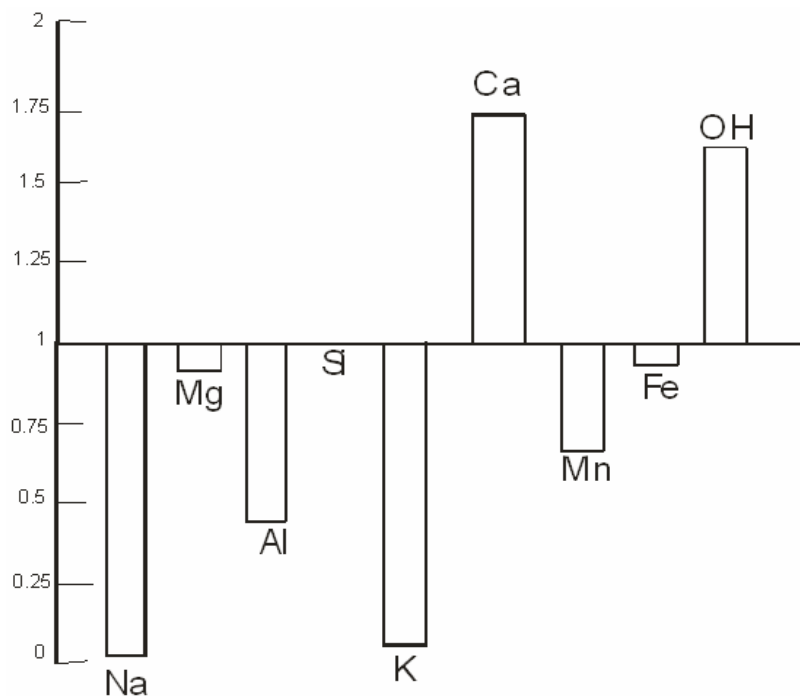
با توجه به این که رودنژیت ها حاصل آتراسیون  
دایک های گابروئی در منطقه به شمار می آیند، لذا درک

ژئوشیمی

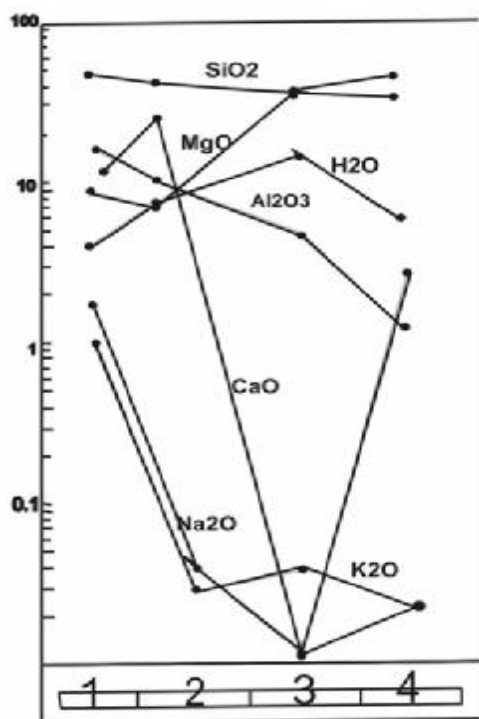
از دیاگرام ACF (شکل ۶) نیز به منظور مقایسه ترکیب شیمیایی رودنژیت های منطقه با میدان پایداری این سنگ ها (کلمن، ۱۹۷۷) استفاده شده است. همان طور که ملاحظه می شود، ترکیب رودنژیت های منطقه با میدان رسم شده برای رودنژیت ها توسط کلمن (۱۹۷۷)، هم خوانی دارند و همگی به قطب C این دیاگرام نزدیک می باشند.

در این شکل علاوه بر همخوانی ترکیبی رودنژیت های منطقه با میدان پایداری ارایه شده توسط کلمن، تغییرات شیمیایی لازم برای رودنژیتی شدن بازالت و گری و ک نمایش داده شده است. به عقیده شاندل و همکاران (۱۹۸۹)، شیمی پروتولیت رودنژیت - ها باعث تفاوت در تغییرات شیمیایی لازم برای رودنژیتی شدن این سنگ ها می شود. همچنین کانی های خاص رودنژیت نیز در این دیاگرام نشان داده شده اند. لازم به ذکر است که، هر نوع رودنژیت با هر درجه از آلتراسیون، در داخل میدان پایداری رودنژیت ها قرار می گیرد بنابراین در این دیاگرام درجه پیشرفتگی رودنژیتیزاسیون مشخص نمی شود (کلمن، ۱۹۷۷).

K کاهش چشمگیر، میزان Mg, Fe, Mn کاهش جزئی و میزان Si تقریباً ثابت باقی می ماند. این نمودار با توجه به داده های جدول (۴) رسم شده است. همچنین از آن جا که فرآیند رودنژیتیزاسیون مستلزم فرآیند سرپانتینیزاسیون می باشد لذا، تشخیص روند تغییرات عناصر اصلی در اولترامافیک ها ای اطراف این سنگ ها (سنگ میزان رودنژیت ها) ضمن فرآیند سرپانتینی شدن، کمک بسیار زیادی به تشخیص روند تغییرات عناصر اصلی گابرو ها ضمن فرآیند رودنژیتی شدن می نماید. با توجه به شکل (۵) مشخص می شود که، سنگ های اولترامافیک در طی فرآیند سرپانتینیزاسیون از لحاظ کلسیم، تهی شدگی و در مقابل دایک های گابروئی در طی فرآیند رودنژیتیزاسیون، غنی شدگی پیدا کرده اند و همچنین عنصر آلومینیوم در سرپانتینیت ها، نسبتاً افزایش و در عوض در رودنژیت ها، از کاهش نسبی برخوردار شده است. چنین روندی به خوبی نشانگر تبادلات یونی بین کانی های موجود در رودنژیت - سرپانتینیت می باشد. این نمودار با توجه به داده های جدول (۴) رسم شده است.



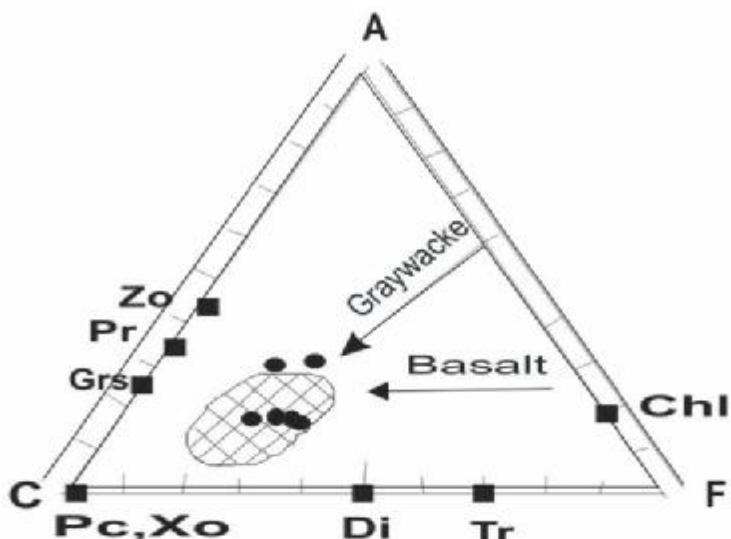
شکل ۴- دیاگرام غنی شدگی - فقیر شدگی عناصر در رودنژیت های افیولیت نائین  
داده ها از جدول (۴) گرفته شده است.



شکل ۵- دیاگرام مقایسه تغییرات ترکیب شیمیائی، در همیافتنی سرپانتینیت - رودنژیت های افیولیت نائین  
۱- گابرو ۲- رودنژیت ۳- سرپانتینیت ۴- هارزبورزیت. داده ها از جدول (۴) گرفته شده است.

جدول ۴ - نتایج تجزیه شیمیائی رودنژیت‌ها و سنگ‌های مرتبط با آن در افیولیت نایین. **Ga-m**: میانگینی از دایک‌های گابروئی سالم (داود زاده، ۱۹۷۲) و (علائی مهابادی، ۱۳۸۳). **Ro- m**: میانگینی از رودنژیت‌ها. **No.404**: سرپانتینیت (داود زاده، **Ha16**: هارزبورژیت (۱۹۷۲).

| Sample                         | Ga-m  | Ro- m   | No.404 | Ha 16  |
|--------------------------------|-------|---------|--------|--------|
| SiO <sub>2</sub>               | 48.22 | 42.74   | 38.6   | 44.7   |
| Al <sub>2</sub> O <sub>3</sub> | 16.36 | 9.7     | 4.1    | 1      |
| Fe <sub>2</sub> O <sub>3</sub> | 8.16  | 5.51    | 6.35   | 8.59   |
| CaO                            | 11.73 | 26.57   | 0.00   | 2.54   |
| Na <sub>2</sub> O              | 1.84  | 0.03    | 0.00   | 0.01   |
| K <sub>2</sub> O               | 1.02  | 0.02    | 0.03   | 0.01   |
| MgO                            | 8.34  | 7.29    | 3.7    | 36.67  |
| TiO <sub>2</sub>               | 0.88  | 0.33    | 0.15   | 0.025  |
| MnO                            | 0.1   | 0.096   | 0.1    | 0.137  |
| P <sub>2</sub> O <sub>5</sub>  | 0.01  | 0.04    | 0.02   | 0.039  |
| LOI                            | 3.95  | 7.69    | 13.4   | 5.36   |
| Total                          | 98.98 | 100.016 | 99.4   | 99.081 |



شکل ۶ - دیاگرام ACF به منظور مقایسه ترکیب شیمیائی رودنژیتهای منطقه مورد مطالعه بامیدان رودنژیتهای کلمن (منطقه هاشور زده)، (کلمن، ۱۹۷۷). **Chl**: کلریت **Di**: دیوپسید **Grs**: گراسولار **Pr**: پکتولیت **Pc, Xo**: پرهنیت **Tr**: ترمولیت **Zo**: زوئیزیت **Xo**: زنوتلیت

A: [Al<sub>2</sub>O<sub>3</sub>+Fe<sub>2</sub>O<sub>3</sub>]-[Na<sub>2</sub>O+K<sub>2</sub>O]

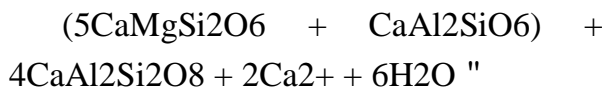
C: CaO-3.3P<sub>2</sub>O<sub>5</sub>

F: MnO+FeO+MgO

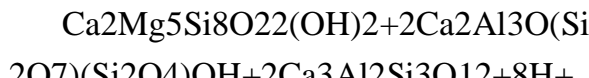
ها تحت تأثیر آلتراسیون قرار گرفته اند، لذا روند رودنژیتی شدن در رودنژیت‌های افیولیت نایین را می‌توان این گونه بیان کرد:

### بحث

با توجه به این که در رودنژیت‌های استاتیک منطقه مورد مطالعه، ابتدا پلاژیوکلاز‌ها و سپس کلینوپیروکسن



### Diopside Anorthite



### Tremolite Zoisite Grossular

شاندل و همکاران (۱۹۸۹) تکامل کانی های موجود در رودنژیت های استاتیک را با پیشرفت رودنژیتی شدن این گونه بیان می کنند:

۱- ابتدا زوئیت - کلینوزوئیت و هیدروگراسولار جانشین پلازیوکلاز می شوند (مراحل اولیه رودنژیتی شدن).

۲- کلریت های غنی از Mg، ترمولیت و تالک جای کلینوپیروکسن را می گیرند (مراحل پیشرفت رودنژیتی شدن).

۳- دیوپسید های ثانویه شکل می گیرند (مراحل پیشرفت رودنژیتی شدن).

تکامل کانی زایی ذکر شده در بالا، کاملاً با تکامل کانی زایی در رودنژیت های استاتیک افیولیت نایین همخوانی دارد. حضور فراوان زنوتیلت رگه ای در رودنژیت های دینامیک نسبت به کانی های رگه ای دیگر نیز نشان می دهد که، سیال سازنده رودنژیت های دینامیک در ابتداء از نسبت  $\text{CaO}/\text{SiO}_2 \sim 1$  بوده است (در کانی زنوتیلت، نسبت اکسید کلسیم به اکسید سیلیسیم یک می باشد) ولی با گذشت زمان، این نسبت افت کرده است و به ترتیب کانی های پرهنیت و پکتولیت با میزان کم شکل گرفته اند.

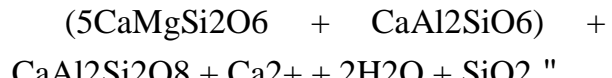
آنالیز های ژئوشیمیایی کل سنگ، مهاجرت یون کلسیم از سرپانتینیت به رودنژیت را به خوبی نشان می دهند، به این معنا که، رودنژیت های منطقه شمال نایین محصول تأثیر سیالات غنی از Ca به وجود آمده از سرپانتینیزاسیون اولتراماگیک ها می باشند. بنابراین زمان نفوذ دایک به سرپانتینیت ها فاکتور مهمی برای

در مراحل ابتدایی رودنژیتی شدن، به علت بالا بودن میران کلسیم و PH سیال:

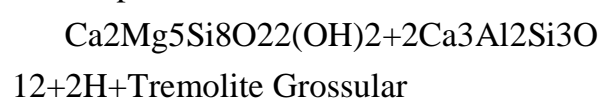
بیشتر پلازیوکلاز ها تحت تأثیر تجزیه شدن قرار گرفته اند و به کانی هایی تبدیل شده اند که برای تشکیل به  $\text{Ca}^{2+}$  بیشتر و  $\text{SiO}_2$  کمتر احتیاج دارند مانند اپیدوت، پرهنیت و هیدروگراسولار در حالی که با پیشرفت رودنژیتی شدن به دلیل آن که میزان  $\text{SiO}_2:\text{CaO}$  سیال کاهش یافته است:

بیشتر کانی های پیروکسن تحت تأثیر تجزیه شدن قرار گرفته اند و به کانی هایی تبدیل شده اند که، برای تشکیل به نسبت  $\text{CaO}: \text{SiO}_2$  کمتری در مقایسه با کانی های شکل گرفته در مرحله نخست رودنژیتی شدن احتیاج دارند مانند زنوتیلت، کلریت منیزیوم دار، ترمولیت و دیوپسید ثانویه. سپس یک سیستم بازخور در محیط ایجاد شده است (سبزه ئی، ۲۰۰۲)، به این معنا که کانی های تشکیل شده در مراحل اولیه، تحت تأثیر سیالات غنی از سیلیس و فقیر از کلسیم مراحل پیشرفتی قرار گرفته و به کانی های کم کلسیم تر تبدیل شده اند، مانند پرهنیتی شدن مجدد هیدروگراسولار (فقیهیان و همکاران، ۱۳۷۹).

لازم به ذکر است که تشکیل کانی های ترمولیت با ترکیب مشابه از کانی های کلینوپیروکسن در رودنژیت های استاتیک، طی دو واکنش صورت می گیرد. یکی از این واکنش ها  $\text{Ca}^{2+}$  کمتر و  $\text{SiO}_2$  بیشتری نسبت به دیگری مصرف می کند که نشان می دهد این واکنش در مراحل پیشرفتی تری که میزان  $\text{CaO}:\text{SiO}_2$  سیال به نسبت زیادی کاهش یافته است، تشکیل شده است. هر دو واکنش توسط سبزه ئی (۲۰۰۲) ارایه شده است.



### Diopside Anorthite



پومپلئیت تا شیست سبز در نظر گرفت. یکی دیگر از دلایل معادل بودن دمای تشکیل کانی های موجود در مرحله ابتدایی رودنژیتی شدن با دمای رخساره پرهنیت- پومپلئیت، وجود کانی های پرهنیت با بافت پاپیونی در این مرحله می باشد.

به گفته شلی (۱۹۹۳)، وجود بلور های خمیده و بسیار طویل و بافت های پاپیونی (مشابه بافت اسفلولیتی) یکی از مشخصه های سنگ های دگرگونی بساز خفیف (رخساره پرهنیت- پومپلئیت) می باشد. شلی (۱۹۹۳) دلیل وجود این گونه بافت ها در سنگ های دگرگونی بسیار خفیف را این گونه بیان می کند، "تشکیل یک بلور جدید با سه فرآیند نطفه بندی، انتشار و رشد در ارتباط است.

هر سه فرآیند دارای سرعت های متفاوتی هستند که بسته به شرایط موجود تغییر می کنند. کند بودن سرعت هر یک از این فرآیند ها در چگونگی پیشرفت عمل بلور تأثیر می گذارد.

برای مثال اگر سرعت انتشار کندتر از سرعت رشد باشد یک حالت اسکلتی، دندریتی و یا پاپیونی پدید می آید، زیرا برای رشد یک بلور منظم و پایدار، همیشه مواد مورد نیاز در دسترس نیست و از این رو بلور برای دستیابی به ماده مورد نظر یک حالت غیر تعادلی پیدا می کند."

همچین با توجه به ترمومتری کلریت های موجود در رودنژیت های منطقه مورد مطالعه (جدول ۵) که به روش کاتلینا و نیوا (۱۹۸۵) انجام شده است (جدول ۶)، دمای تشکیل  $151.5 \pm 32^{\circ}\text{C}$  برای این کانی به دست آمد. لازم به ذکر است که، کلریت منیزیم دار جزو کانی های شکل گرفته در مرحله پیشرفت رودنژیتی شدن محسوب می شود و دمای تشکیل این کانی می باشد بیشتر از دمایی باشد که به روش کاتلینا و نیوا دمای به دست آمده است، بنابراین دمای کم به دست آمده برای این کانی را می توان نشان از تغییرات این کانی بعد از تشکیل آن دانست.

رودنژیتیزاسیون به شمار می آید، به نحوی که دایک باید همزمان و یا قبل از سرپانتینیزاسیون به این سنگ ها نفوذ کرده باشد.

بررسی های کانی شناسی (حضور کانی های غنی از کلسیم) و ژئوشیمیایی نشان می دهد، شاره هایی که باعث تبدیل دایک های گابروئی به رودنژیت شده است، از لحاظ  $\text{Ca}$  و  $\text{OH}$  اشباع بوده اند.

با توجه به مطالعات میکروسکوپی و ژئوشیمیایی، هر اندازه رودنژیت ها از درجه رودنژیتیزاسیون بالاتری بر خوردار باشند، علاوه بر این که هر دو پاراژنر مربوط به مراحل اولیه و پیشرفت رودنژیتیزاسیون استاتیک و همچنین کانی های رگه ای مربوط به رودنژیتیزاسیون دینامیک در آنها مشاهده می شود، میزان عناصر  $\text{Ca}$  و  $\text{OH}$  نیز در آنها نسبت به رودنژیت هایی که کمتر تحت تأثیر رودنژیتیزاسیون قرار گرفته اند، بالاتر می باشد. از آن جا که در سنگ های رودنژیتی شده، ابتدا کانی های پلازیوکلاز (مراحل ابتدایی) و سپس کانی های کلینوپیروکسن (مراحل پیشرفت) تحت تأثیر آتراسیون قرار گرفته اند.

بنابراین می توان نتیجه گرفت که دما ابتدا شاید پایین بوده و سپس افزایش پیدا کرده است زیرا پرهنیت و اپیدوت آهن دار (پیستاشیت) حاصل از تجزیه کانی های پلازیوکلاز در دمای معادل با رخساره پرهنیت- پومپلئیت (دگرگونی بسیار ضعیف) و اورالیت های ناشی از تجزیه کانی های کلینوپیروکسن در دمای معادل با رخساره شیست سبز (دگرگونی ضعیف) حاصل می شوند (شلی ۱، ۱۹۹۳). لازم به ذکر است که، وینکلر ۲ (۱۹۷۶) رخساره های دگرگونی را بر اساس دما طبقه بندی می کند و رخساره پرهنیت- پومپلئیت را دگرگونی درجه بسیار ضعیف، رخساره شیست سبز را دگرگونی درجه ضعیف و رخساره آمفیبولیت را دگرگونی درجه متوسط در نظر می گیرد.

با این تفاسیر شاید بتوان محدوده دمایی رودنژیتهاي استاتیک افیولیت نایین را رخساره پرهنیت-

جدول ۵ - نتایج آنالیز EDS از کانی کلریت

| Major element                  | Fal-01  | Fal-02  |
|--------------------------------|---------|---------|
| SiO <sub>2</sub>               | 38.01   | 35.40   |
| Al <sub>2</sub> O <sub>3</sub> | 17.36   | 19.63   |
| FeO                            | 24.01   | 24.45   |
| MnO                            | 0.48    | 0.50    |
| MgO                            | 16.88   | 16.97   |
| CaO                            | 0.58    | 0.33    |
| Total                          | 97.32   | 97.28   |
| Formula                        | Cations | Cations |
| Si                             | 3.48    | 3.26    |
| Al                             | 1.87    | 2.13    |
| Fe <sup>2</sup>                | 1.84    | 1.88    |
| Mn                             | 0.04    | 0.04    |
| Mg                             | 2.30    | 2.33    |
| Ca                             | 0.06    | 0.03    |
| Al(IV)                         | 0.52    | 0.74    |
| Al(VI)                         | 1.35    | 1.39    |

منیزیوم دار، ترمولیت، دیوپسید ثانویه) نشان از تغییرات

وسعی ترکیب سیالات سازنده این سنگ ها دارد، بدین

معنا که سیال در مراحل ابتدایی از لحاظ میزان کلسیم و

در مراحل پیشرفته از لحاظ سیلیسیم غنی بوده است. در

حالی که نبود تنوع کانی شناسی در رودنژیت های

دینامیک (حضور فراوان زنوتیلت و حضور نسبتاً پایین

پرهنیت و پکتولیت) منطقه نشان از حضور سیالات با

ترکیب نسبتاً ثابت در این سنگ ها و تغییرات نسبتاً کم

آن ها دارد.

۲ - در فرآیند رودنژیتی شدن دایک های گابروئی

منطقه مورد مطالعه، میزان Ca و OH سنگ افزایش،

جدول ۶ - نتایج ترمومتری کانی های کلریت

موجود در رودنژیت های افیولیت نائین

| Label  | T °C   |
|--------|--------|
| Fal-01 | 128.27 |
| Fal-02 | 174.66 |
| Mean   | 151.47 |

$$T = 151.5 \pm 32^{\circ}\text{C}$$

نتیجه

- تنوع کانی شناسی در رودنژیت های استاتیک منطقه از مراحل ابتدایی (اپیدوت، پرهنیت، هیدروگراسولار) تا مراحل پیشرفته (زنوتیلت، کلریت

- از رودنژیت‌های افیولیت نایین، فشرده مقالات هشتمین همایش بلور شناسی و کانی شناسی ایران، ۴ صفحه، ۱۳۷۹.
- ۲ - عالیی مهابادی، س، «فؤدازی، م، داوری، م، بهره مند، م، محمدیان، ه، و حدادان، م. نقشه زمین‌شناسی ۱:۱۰۰۰۰ نایین، سازمان زمین‌شناسی و اکتشافات معدنی کشور، ۱۳۸۳.
- ۳ - M., Cathelineau, and D. A., Nieva, chlorite solid solution geothermometer—The Los Azufres (Mexico) geothermal system: Contribution to Mineralogy and Petrology, v. 91, p. 235–244, (1985).
- ۴- R. G., Coleman, Low – temperature reaction zones and alpine ultramafic rock of California, Oregon and Washington: U. S. Geological Survey Bulletin, v. 47, p. 1247, (1967).
- ۵ - R. G., Coleman, Ophiolites, ancient oceanic lithosphere ?: Springer- Verlag, Berlin, 229p, (1977).
- 6 - R. G., Coleman, Ophiolites, minerals and rocks: Springer – Verlag, Berlin, v. 12, 229p; (1977).
- 7 – M., Davoudzadeh, Geology and petrology of the area North of Naein, Central Iran: Geological Survey of Iran, Report no. 14, 79 p; (1972).
- 8 – M., Sabzehei, Rodingitization of Iranian basic rocks, a new interpretation: Journal of Sciences, v. 13, p. 155 – 160; (2002).
- 9 – E. S., D. S., Schandle, O hanley, and F. J., Wicks, Rodingites in serpentinitized ultramafic rocks of the Abitibi greenstone belt, Ontario: Canadian Mineralogist, v. 27, p. 579 – 591; (1989).
- 10 – E. S., D. S., Schandle, O hanley and F. J., Wicks, Fluid inclusion in rodingite, a geothermometer for serpentinitization: Economic Geology, v. 85, p. 1273 – 1276; (1990).
- 11 - D., Shelly, Igneous and metamorphic rocks under the microscope: Chapman and Hall, 630 p; (1993).
- 12 – T., Thayer, Serpentinitization considered as a constant volum metasomatic process: American Mineralogist, v. 51, p. 685 – 710; (1966).

میزان K، Fe, Mn، Na, Al، Mg کاهش چشمگیر، میزان Si تقریباً ثابت باقی می‌ماند.

۳ - از آن جا که، رودنژیت‌های منطقه محصول تأثیر سیالات غنی از Ca به وجود آمده از سرپانتینیزاسیون اولترامافیک ها می‌باشد، بنابراین زمان نفوذ دایک به سرپانتینیت‌ها فاکتور مهمی برای رودنژیتیزاسیون به شمار می‌آید، به نحوی که دایک می‌بایست همزمان و یا قبل از سرپانتینیزاسیون به این سنگ‌ها نفوذ کرده باشد.

۴ - وجود هر دو پاراژنر مربوط به مراحل اولیه و پیشرفت‌های رودنژیتیزاسیون استاتیک و همچنین کانی‌های رگه‌ای مربوط به رودنژیتیزاسیون دینامیک در رودنژیت‌های منطقه، نشان از بالا بودن درجه رودنژیتیزاسیون در این سنگ‌ها دارد.

۵ - پرهنیت و اپیدوت آهن دار (پیستاشیت) حاصل از تجزیه کانی‌های پلاژیوکلاز (مرحله ابتدایی رودنژیت شدن) در دمای معادل با رخساره پرهنیت - پومپلئیت (دگرگونی بسیار ضعیف) و اورالیت‌های ناشی از تجزیه کانی‌های کلینوپیروکسن (مرحله پیشرفت‌های رودنژیتی شدن) در دمای معادل با رخساره شیست سبز (دگرگونی ضعیف) حاصل می‌شوند. با این تفاسیر شاید بتوان محدوده دمایی رودنژیت‌های استاتیک افیولیت نایین را رخساره پرهنیت - پومپلئیت تا شیست سبز در نظر گرفت.

## منابع

- ۱ - فقیهیان، ح، نقره ئیان، م، مکی زاده، م.ع، و شرافت، ش. پیدایش زئولیت‌های دروغین (پکتولیت و پرهنیت) در بخشی